

Esponentiale di matrici

Note Title

2024-04-15

$$\exp(A) \approx D(A)^{-1} N(A)$$

$\frac{N(x)}{D(x)}$ = approssimante di
Padé di $\exp(x)$

$$D(A)^{-1} N(A) = \exp(A+H) \quad \frac{\|H\|}{\|A\|} \leq \epsilon$$

prevede un'approssimante di grado (13,13) e $\forall A$ $\|A\| \leq 5.4$.

⇒ l'algoritmo è stabile

Questo oltre l'errore analitico, dobbiamo preoccuparci anche dell'errore numerico, in particolare quello dovuto al condizionamento nell'inversione di $D(A)$.

Verifichiamo cosa succede numericamente con approssimanti di grado minore, ad es. 2 oppure 4

Guardiamo per semplicità anche i valori singolari di $D(A)$ i suoi autovalori

$$D(A) = D(V \begin{bmatrix} \lambda_1 & & \\ & \ddots & \\ & & \lambda_n \end{bmatrix} V^{-1}) = V \begin{bmatrix} D(\lambda_1) & & \\ & \ddots & \\ & & D(\lambda_n) \end{bmatrix} V^{-1}$$

$$\|A\| \leq 5.4 \Rightarrow |\lambda_i| \leq 5.4$$

⇒ vogliamo vedere $\max_{|\lambda| \leq 5.4} |D(\lambda)|$ e $\min_{|\lambda| \leq 5.4} |D(\lambda)|$

Quando il grado dell'approssimante $\rightarrow \infty$, $N(x) \rightarrow \exp(x/2)$

$$D(x) \rightarrow \exp(-x/2)$$

$$D(x) = N(-x)$$

$$\begin{aligned} \max_{|\lambda| \leq 5.4} |D(\lambda)| &\approx \max_{|\lambda| \leq 5.4} \left| \exp\left(-\frac{\lambda}{2}\right) \right| = \exp\left(\max_{|\lambda| \leq 5.4} \operatorname{Re}\left(-\frac{\lambda}{2}\right)\right) \\ &= \exp\left(\frac{5.4}{2}\right) \end{aligned}$$

$$\min_{\|A\| \leq 5.4} |D(A)| \approx \min_{\|A\| \leq 5.4} |\exp(-\frac{A}{2})| = \exp(-\frac{5.4}{2})$$

\Rightarrow gli autovalori (ma non per fare i valori singolari) di $D(A)$ non possono essere più di tanto grandi (piccoli)

Non c'è un risultato forte di stabilità, ma nella pratica $D(A)^{-1}N(A)$ approssima bene $\exp(A)$ per $\|A\| \leq 5.4$

Cosa facciamo per matrici di norma più grande di 5.4?

Idea: "scaling and squaring": usiamo l'identità

$$\exp(kA) = \exp(A)^k \quad \forall k$$

$$\exp(A) = \left(\exp\left(\frac{1}{2^s} A\right) \right)^{2^s}$$

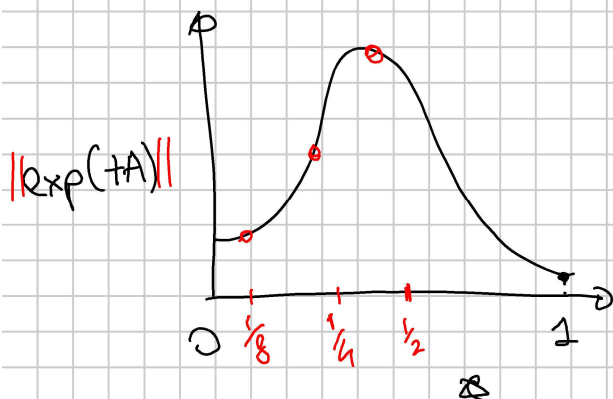
Scego $s \in \mathbb{N}$ in modo che $\left\| \frac{1}{2^s} A \right\| \leq 5.4$

$$\text{Allora } \exp(A) \approx \left(D\left(\frac{1}{2^s} A\right)^{-1} N\left(\frac{1}{2^s} A\right) \right)^{2^s}$$

approssimazione di

Posti nello spazio
in cui è stabile

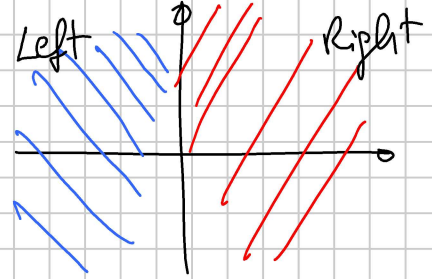
\rightarrow s quadrature
successive



Anche con questo algoritmo c'è il rischio di incontrare cancellazione in presenza di "gobbe" nel grafico

Segno di matrici

$$\text{sign}(x) = \begin{cases} 1 & \text{Re}(x) > 0 \\ -1 & \text{Re}(x) < 0 \\ \text{undef.} & \text{Re}(x) = 0 \end{cases}$$



Se abbiamo A con forma di Jordan $A = VJV^{-1}$, e

supponiamo $J = \begin{bmatrix} J_1 & \\ & J_2 \end{bmatrix}$ con $\Lambda(J_1) \subseteq \text{LHP}$ (left half-plane)
 $\Lambda(J_2) \subseteq \text{RHP}$ (right ")

$$\text{sign}(A) = V \begin{bmatrix} -I & \\ & I \end{bmatrix} V^{-1}$$

$$V = \begin{bmatrix} V_1 & V_2 \end{bmatrix}$$

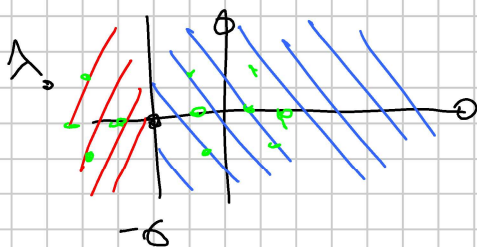
$\text{sign}(A)$ ha sempre i soli autovalori ± 1

Oss: $\text{sign}(A) + I = V \begin{bmatrix} 0 & \\ & 2I \end{bmatrix} V^{-1} \Rightarrow \text{Im}(\text{sign}(A) + I) = \text{Im } V_2$
 $\text{Ker}(\text{sign}(A) + I) = \text{Im } V_1$

$\text{Im } V_1, \text{Im } V_2$ sono i sottosp. invarianti corrispondenti agli autoval. nel LHP e RHP rispettivamente.

Applicazione: in alcuni problemi di fisica, si vogliono calcolare autovalori più a sinistra di alcune matrici (stati elettronici con energia minore) e i proiettori sui sottosp. inv. associati

\Rightarrow data la matrice A , calcolo $\text{sign}(A + \sigma I)$, $\sigma \in \mathbb{R}$



che mi dà i sottosp. invarianti di $A + \sigma I$ associati a LHP e RHP \Leftrightarrow sottosp. inv. di A associati a $\{\lambda: \text{Re}(\lambda + \sigma) < 0\}$
e $\{\lambda: \text{Re}(\lambda + \sigma) > 0\}$

Più in generale, se calcola $\text{sign}(\alpha A + \beta I)$ $\alpha, \beta \in \mathbb{C}$

riesco a trovare i sottosp. inv. di A associati ai due

semipiani $\mathcal{P}_1 = \{\lambda: \text{Re}(\alpha\lambda + \beta) < 0\}$ e $\mathcal{P}_2 = \{\lambda: \text{Re}(\alpha\lambda + \beta) > 0\}$

e a trovare una matrice Q tale che

$$Q^* A Q = \begin{bmatrix} A_{11} & A_{12} \\ 0 & A_{22} \end{bmatrix} \quad \begin{array}{l} \Lambda(A_{11}) \subseteq \mathcal{P}_1 \\ \Lambda(A_{22}) \subseteq \mathcal{P}_2 \end{array}$$

Faccendo questo più volte ricorsivamente, si ottiene un algoritmo "divide et impera" per calcolare la forma di Schur di A .

Algoritmo: Schur-Parlett (specializzazione dell'algoritmo a questa funzione)

1) Calcolo $A = U T U^*$ forma di Schur

2) Riordino, per ottenere un'altra forma di Schur della forma

$$A = \hat{U} \hat{T} \hat{U}^*, \quad \hat{T} = \begin{bmatrix} T_{11} & T_{12} \\ 0 & T_{22} \end{bmatrix}$$

$$\Lambda(T_{11}) \subseteq \text{LHP} \quad \Lambda(T_{22}) \subseteq \text{RHP}$$

$$f(A) = f(\hat{U} \hat{T} \hat{U}^*) = \hat{U} f(\hat{T}) \hat{U}^* = \hat{U} f\left(\begin{bmatrix} T_{11} & T_{12} \\ 0 & T_{22} \end{bmatrix}\right) \hat{U}^*$$

$$= \hat{U} \begin{bmatrix} f(T_{11}) & Z \\ 0 & f(T_{22}) \end{bmatrix} \hat{U}^* = \hat{U} \begin{bmatrix} -I & Z \\ 0 & I \end{bmatrix} \hat{U}^*$$

Per calcolare il blocco off-diagonal Z , uso il fatto che

$$\hat{T} f(\hat{T}) = f(\hat{T}) \hat{T}$$

$$\begin{bmatrix} T_{11} & T_{12} \\ 0 & T_{22} \end{bmatrix} \begin{bmatrix} -I & Z \\ 0 & I \end{bmatrix} = \begin{bmatrix} -I & Z \\ 0 & I \end{bmatrix} \begin{bmatrix} T_{11} & T_{12} \\ 0 & T_{22} \end{bmatrix}$$

$$(1,2) \rightarrow T_{11}z + T_{12} = -T_{12} + zT_{22} \Leftrightarrow T_{11}z - zT_{22} = -2T_{12}$$

È un'equazione di Sylvester per z .

$$\Lambda(T_{11}) \cap \Lambda(T_{22}) = \emptyset \Rightarrow \text{è risolvibile.}$$

Conditionnements di $\text{sign}(A)$:

La derivata di Fréchet di $f(A)$ è una matrice $u^2 \times u^2$


che ha autovalori

$$f[\lambda_i, \lambda_j] = \begin{cases} \frac{f(\lambda_i) - f(\lambda_j)}{\lambda_i - \lambda_j} & i, j = 1, \dots, N \\ f'(\lambda_i) & i = j \end{cases}$$

Nel caso della funzione segno, $f'(\lambda_i) = 0$ (costante \pm multi)

$$f(\lambda_i) - f(\lambda_j) = \begin{cases} 0 & \lambda_i, \lambda_j \text{ nello stesso semipiano} \\ \pm 2 & \lambda_i, \lambda_j \text{ da parti opposte dell'asse immag.} \end{cases}$$

$\Rightarrow f[\lambda_i, \lambda_j]$ prende per



In generale avremo dimostrato le stime

$$K_{\text{abs, sign}, A} \leq K^2(V) \max |f[\lambda_i, \lambda_j]|$$

$$\Rightarrow \text{viene da } (V \otimes V) (\text{diagonale}) (V^{-1} \otimes V^{-1})$$

Teo ([Byers, Mehrmann, He]) Supponiamo di avere M e una perturbazione E di norma $\|E\| = \varepsilon$ suff. piccola

Allora,

$$1) \frac{\|\text{sign}(M+E) - \text{sign}(M)\|}{\|\text{sign}(M)\|} = O\left(\frac{\varepsilon}{\delta^2}\right)$$

dare $\delta = \text{sep}(T_{11}, T_{22})$

$$M = U \begin{bmatrix} T_{11} & T_{12} \\ 0 & T_{22} \end{bmatrix} U^* \quad U = [U_1 \ U_2]$$

$$\lambda(T_{11}) \in \text{LHP} \quad \lambda(T_{22}) \in \text{RHP}$$

2.) Se questo segno viene usato per calcolare sottospazi invarianti, allora il condizionamento è migliore:

il sottosp. inv. stabile (cioè associato all'LHP) di M

è $\text{Im } U \begin{bmatrix} I \\ 0 \end{bmatrix} = U_1$, mentre quello di $M+E$ è

$\text{Im } U \begin{bmatrix} I \\ X \end{bmatrix}$ dove X è una matrice d.c. $\|X\| = O\left(\frac{\epsilon}{\delta}\right)$

Idea della dim.: avremo visto una dimostrazione sul condizionamento dei sottosp. invarianti: data una matrice

$$M = U \begin{bmatrix} T_{11} & T_{12} \\ 0 & T_{22} \end{bmatrix} U^*, \text{ con sottosp. invariante } \text{Im } U_1 = \text{Im } U \begin{bmatrix} I \\ 0 \end{bmatrix}$$

una sua perturb. E ha un sottosp. invariante $\text{Im } U \begin{bmatrix} I \\ X \end{bmatrix}$,

dove X è la matrice che risolve una certa equazione

di matrici provante da

$$\begin{bmatrix} I & 0 \\ -X & I \end{bmatrix} \begin{bmatrix} T_{11}+E_{11} & T_{12}+E_{12} \\ E_{21} & T_{22}+E_{22} \end{bmatrix} \begin{bmatrix} I & 0 \\ X & I \end{bmatrix} = \begin{bmatrix} * & * \\ 0 & * \end{bmatrix}$$

e in part. $\|X\| = O\left(\frac{\epsilon}{\delta}\right)$

Per completare la dimostrazione, usiamo la decomposizione per calcolare $f(M+E)$.

L'altro $\frac{1}{\delta}$ al denominatore deriva dal fatto che il blocco fuori della diagonale (quello che avevano chiamato Z in

Schur-Parlett, tale che $f\left(\begin{bmatrix} T_{11} & T_{12} \\ 0 & T_{22} \end{bmatrix}\right) = \begin{bmatrix} -I & Z \\ 0 & I \end{bmatrix}$)

ha norma grande quando $\text{sep}(T_{11}, T_{22})$ è piccolo.

$\|Z\| = O\left(\frac{1}{\delta}\right)$. Però perturbazioni di Z non hanno effetto sul sottosp. invariante.

La prossima volta: un algoritmo iterativo per il segno:

$$X_0 = A$$

$$X_{k+1} = \frac{1}{2}(X_k + X_k^{-1})$$

$$\lim_{k \rightarrow \infty} X_k = \text{sign}(A)$$